

---

## ПРОСТРАНСТВЕННО-ВРЕМЕННАЯ ОБРАБОТКА СИГНАЛА ОТ ПРОТЯЖЕННОЙ ЦЕЛИ АНТЕННАМИ С ЛИНЕЙНОЙ АПЕРТУРОЙ

*В. А. Грабина, А. И. Погорелов*

В статье рассматривается задача синтеза системы, осуществляющей оптимальную пространственно-временную обработку сигнала в случае пеленгования протяженной цели. Получено выражение для оптимального оператора антенны. Показано, что использование синтезированной антенны может дать значительный выигрыш по сравнению со случаем, когда применяется антенна с равномерным амплитудно-фазовым распределением.

При пеленговании точечной цели оказывается, что оптимальная антенна, осуществляющая пространственно-временную обработку, должна иметь по раскрытию равномерное амплитудно-фазовое распределение, как это имеет место и в обычных линейных антеннах. Поэтому может возникнуть опасение, что результаты, получаемые при использовании методов оптимальной пространственно-временной обработки, будут и в других случаях столь же тривиальны.

В связи с этим интересно рассмотреть такую ситуацию, при которой результаты использования обычных антенн не являются наилучшими, и проиллюстрировать выигрыш, получаемый в случае применения метода оптимального синтеза систем обработки пространственно-временных сигналов.

Рассмотрим задачу пеленгования, которая состоит в следующем. Антенна с линейной апертурой в условиях надежного обнаружения сигнала пеленгует цель, представляющую собой протяженный неподвижный объект. На поле сигнала в пространстве антенны накладывается аддитивное поле помех с напряженностью  $n(t; x)$ , для наблюдения отводится время  $T$ .

Требуется указать оптимальный способ обработки принятых колебаний, при котором точность измерения угловой координаты протяженной цели будет наибольшей.

1. Заменим протяженную цель двумя точечными источниками, светящимися точками, монохроматического излучения частоты  $f_0$ , расположенными на ее краях, и будем считать, что цель и линейная антенна лежат в одной плоскости, угол отсчитывается от линии  $OO'$ , а величины  $\pm\Delta$  обозначают, как показано на рис. 1., угловые смещения точечных источников относительно азимута центра цели. Сделанные допущения позволяют выявить влияние протяженности излучающего объекта на оптимальную обработку.

Если амплитуда и фаза колебаний каждого из точечных источников представляют собой постоянные величины, равные соответственно  $E_0$  и  $\psi$ ,

то суммарная напряженность поля  $e_{\Sigma}$ , создаваемая двумя такими источниками в точках  $x$  апертуры, будет

$$e_{\Sigma}(t; x; \theta) = E_0 e^{j(2\pi f_0 t + \nu)} \left[ e^{j \frac{2\pi x \sin(\theta + \Delta)}{\lambda_0}} + e^{j \frac{2\pi x \sin(\theta - \Delta)}{\lambda_0}} \right], \quad (1)$$

где  $\lambda_0$  — длина волны, соответствующая частоте  $f_0$ .

Положим, что угловые размеры цели (величина  $\Delta$ ) малы. В этом случае

$$e_{\Sigma}(t; x; \theta) = 2E_0 e^{j(2\pi f_0 t + \nu)} e^{j \frac{2\pi}{\lambda_0} x \sin \theta} \cos \left[ 2\pi \frac{x}{\lambda_0} \Delta \cos \theta \right]. \quad (2)$$

Из-за помех результаты наблюдения носят случайный характер и задача, таким образом, решается с помощью статистической теории. При этом, поскольку и сигнал и помеха — пространственно-временные (в данном случае — двумерные) функции, задачу необходимо решать на основании статистической теории не временных, а пространственно-временных процессов.

Будем считать, что помехи имеют тепловую природу, некоррелированы во времени и порождаются источниками, статистически независимыми и равномерно распределенными по телесным углам в пределах всего пространства.

Предположим также, что шумы эти действуют на протяжении того же времени  $T$ , которое отводится для наблюдения сигнала.

В этом случае помеха в области частот, занимаемой сигналом, может быть представлена [2] случайным процессом в виде белого шума с  $\delta$ -корреляцией по времени и линейной координате  $x$  с плотностью вероятности

$$\rho(n) = k \exp \left\{ -\frac{2}{N_0 \lambda} \int_{-\frac{T}{2}}^{\frac{T}{2}} \int_{-\frac{X}{2}}^{\frac{X}{2}} n^2(t; x) dt dx \right\}, \quad (3)$$

где  $x$  — протяженность апертуры;

а  $N_0$  — двумерная спектральная плотность процесса  $n(t; x)$ , приходящаяся на единицу объема двумерного спектрального (частотного) пространства ( $f; \varphi_x$ ). Здесь  $f$  — циклическая, а  $\varphi_x$  — пространственная частоты.

**Определение оптимального оператора антенны.** Для пространственно-временных процессов, так же как и для временных, независимо от выбранного критерия оптимума в качестве оптимального эффекта можно принять коэффициент правдоподобия [1] (отношение правдоподобия)  $\Lambda(\theta)$ , или функцию  $Y(\theta)$ , взаимнооднозначную по отношению к  $\Lambda(\theta)$ .

Имея выражение для функционала плотности вероятности помехи (3), можно найти выражение для  $\Lambda(\theta)$  и записать функционал  $Y(\theta)$  аналогично тому, как это сделано в [2].

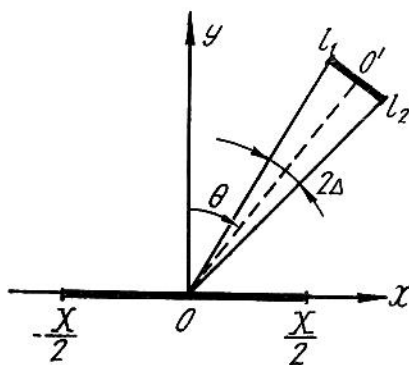


Рис. 1.

Для рассматриваемого двумерного случая выходной эффект оптимальной системы запишется в следующем виде:

$$Y(\theta) = \int_{-\frac{T}{2}}^{\frac{T}{2}} \int_{-\frac{X}{2}}^{\frac{X}{2}} \xi(t; x) e_{\Sigma}(t; x; \theta) dt dx. \quad (4)$$

Здесь  $\xi(t; x)$  — напряженность поля на апертуре, созданная в результате совместного воздействия сигнала  $e_{\Sigma}(t; x; \theta)$  и помехи  $n(t; x)$

$$\xi(t; x) = e_{\Sigma}(t; x; \theta_0) + n(t; x), \quad (5)$$

а  $\theta_0$  — фиксированное значение полезного параметра сигнала. Если воспользоваться записью (4) и (2), то получим необходимое нам выражение, указывающее способ оптимальной обработки принимаемых колебаний,

$$Y(\theta) = \int_{-\frac{T}{2}}^{\frac{T}{2}} E_0 e^{j(2\pi f_0 t + \nu)} dt \int_{-\frac{X}{2}}^{\frac{X}{2}} \xi(t; x) e^{j2\pi \frac{x}{\lambda_0} \sin \theta} \cos \left[ 2\pi \frac{x}{\lambda_0} \cos \theta \Delta \right] dx. \quad (6)$$

Проанализируем это выражение.

Из (6) следует, что обработка пространственно-временного процесса осуществляется оптимальной системой отдельно: (по принципу обработки сигналов в радиолокационных системах классической схемы построения) сначала — по пространству — внутренний интеграл (6), а затем по времени.

При этом выходной эффект оптимальной антенны — обработка по пространству

$$Y(\theta; t) = \int_{-\frac{X}{2}}^{\frac{X}{2}} \xi(t; x) \cos \left[ 2\pi \frac{x}{\lambda_0} \Delta \cos \theta \right] e^{j2\pi \frac{x}{\lambda_0} \sin \theta} dx. \quad (7)$$

Можно показать, что вращающаяся антенна с линейной апертурой, оптимальный выходной эффект которой представляется в виде (7), имеет диаграмму направленности

$$f_{\Sigma}(\theta) = \int_{-\frac{X}{2}}^{\frac{X}{2}} \cos \left[ 2\pi \frac{x}{\lambda_0} \Delta \cos \theta \right] e^{j2\pi \frac{x}{\lambda_0} \sin \theta} dx, \quad (8)$$

где

$$I(x) = \cos \left( 2\pi \frac{x}{\lambda_0} \Delta \cos \theta \right) - \quad (9)$$

— весовая функция антенны.

Во многих практически важных случаях, о которых будет сказано ниже,  $\theta \approx 0$ , а  $\cos \theta \approx 1$ , так что

$$I(x) = \cos \left( 2\pi \frac{x}{\lambda_0} \Delta \right). \quad (10)$$

II. Для анализа полученных результатов полезно иметь выражение для коэффициента  $\gamma^2$ , определяющего отношение

$$\gamma^2 = \frac{(c/\omega)_{\text{опт}}}{(c/\omega)_{\text{неопт}}} \quad (11)$$

Для рассматриваемой задачи достаточно сравнить в указанных случаях выходные эффекты только пространственной обработки сигнала. Временную обработку считаем оптимальной и, следовательно, одинаковой по точности.

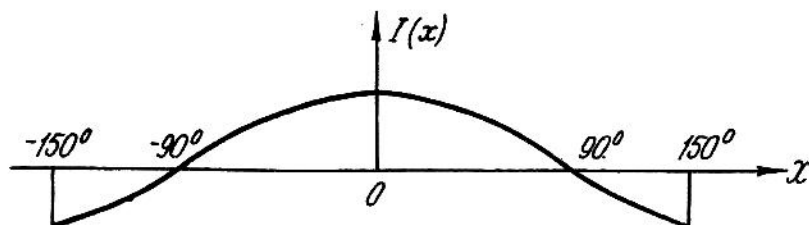


Рис. 2.

Можно показать, что в случае пеленгования протяженной цели, когда амплитудное распределение оптимальной антенны задано в виде (10), величину коэффициента  $\gamma^2$  можно определить, пользуясь выражением

$$\gamma^2 = \frac{\int_{-x/2}^{x/2} |I(x)|^2 dx \int_{-x/2}^{x/2} \cos^2\left(2\pi\Delta \frac{x}{\lambda}\right) dx}{\left| \int_{-x/2}^{x/2} I(x) \cos\left(2\pi\Delta \frac{x}{\lambda}\right) dx \right|^2} \quad (12)$$

где  $I(x)$  — амплитудное распределение неоптимальной антенны.

Сравним оптимальную обработку (7) с обработкой, когда в той же ситуации та же линейная антенна имеет, например, равномерное амплитудное распределение

$$I(x) = I_0 = \text{const.}$$

В этом случае, как следует из (12),

$$\gamma^2 = \frac{\frac{1}{2} \left( 1 + \frac{\sin 2\pi\Delta \frac{x}{\lambda}}{2\pi\Delta \frac{x}{\lambda}} \right)}{\left( \frac{\sin \pi\Delta \frac{x}{\lambda}}{\pi\Delta \frac{x}{\lambda}} \right)^2} \quad (13)$$

Для конкретных значений угловых размеров цели и отношения  $x/\lambda$  получаются следующие значения  $\gamma^2$ . При  $\Delta = 5'$  и  $x/\lambda = 5$ ;  $\gamma^2 = 1,26$ . При  $\Delta = 5'$  и  $x/\lambda = 25$   $\gamma^2 = 26$ . Амплитудное распределение по апертуре для первого случая имеет вид, показанный на рис. 2.

Для второго случая аргумент косинуса для выражения (10)  $2\pi\Delta \frac{x}{\lambda} \approx 750^\circ$ , в связи с чем оптимальное распределение будет еще более отличаться от равномерного.

Из рассмотренных примеров видно, что дисперсия оценки параметра  $\theta$  в случае оптимальной антенны заметно меньше, чем в случае, когда закон амплитудного распределения равномерный. В связи с этим имеет смысл обсуждение полученных результатов с точки зрения построения такой оптимальной антенны.

Трудности осуществления оптимальной антенны (7) определяются тем, что амплитудное распределение (9) зависит от двух обычно неизвестных параметров:  $\Delta$  и  $\theta$ . Более того, параметр  $\theta$  является искомым параметром. Тем не менее возможны ситуации, при которых отмеченные трудности существенно ослабляются или снимаются вовсе и реализация рассматриваемой системы становится возможной. Здесь следует прежде всего заметить, что во многих реальных случаях для конструирования оптимальной антенны (7) априорное незнание  $\theta$  окажется несущественным. Дело в том, что обычно цель находится в области, близкой к  $\theta \approx 0$ , так что  $\cos \theta$  в аргументе выражения (10) можно положить равным единице.

Такое предположение ( $\cos \theta \approx 1$ ) можно сделать и для антенн типа самонастраивающихся фазированных решеток, где диаграмма направленности антенны автоматически следит за целью.

Рассмотрим теперь вопрос о величине  $\Delta$ . Выше было отмечено, что параметр  $\Delta$  обычно является величиной неизвестной.

Если это имеет место, то, действительно, построение оптимальной системы вида (7) затруднительно. Однако имеются случаи, когда наблюдение ведется за целью, информация о которой содержит достаточно надежные сведения о  $\Delta$ . Ограничимся двумя примерами.

Прежде всего укажем на типичную ситуацию в радиоастрономии, где угловые размеры объектов наблюдения известны. При этом следует подчеркнуть, что в радиоастрономии, где требуются высокие точности, а прием ведется на фоне радиопомех, применение антенн, синтезированных с учетом действия помех, должно быть весьма эффективным. Второй случай, когда величина  $\Delta$  или ее порядок можно считать также известными, имеет место при наблюдении космических объектов, параметры которых заданы.

Вывод, который следует из обсуждения вопроса о построении оптимальной системы (7), состоит в том, что совместное выполнение условий

$$\Delta - \text{задано}; \theta \approx 0; \Delta \frac{x}{\lambda} > 1 \quad (14)$$

для радиопеленгационных устройств вполне реально. В связи с этим построение антенны (8), осуществляющей оптимальную обработку сигнала от протяженной цели, возможно и целесообразно.

#### ЛИТЕРАТУРА

1. С. Е. Фалькович. Прием радиолокационных сигналов на фоне флюктуационных помех. Изд-во «Сов. радио», 1961.
2. С. Е. Фалькович. О задаче определения оптимальной пространственно-временной системы обработки сигналов. «Радиотехника и электроника», 1966, № 5.